

V-62 配合の異なるコンクリートおよびモルタルの乾燥収縮による
およぼす環境の湿度の影響について

鳥取大学 正員 西林新蔵
" " 木山英郎
" " ○阪田憲次

1. はじめに

コンクリートおよびモルタルの乾燥収縮の内部機構は、環境と供試体内部との湿度勾配による、シーページ効果によって説明されるといわれている。このことは、著者の一人が行なった実験においても明らかである。いっぽう、軽量コンクリートの乾燥収縮は、普通コンクリートのそれよりも若干大きくなることが、従来の多くの研究によって明らかにされている。従って、コンクリートの乾燥収縮は、シーページ理論で説明されるように、セメントペースト中のゲル水や毛細管水の移動によるものだけでなく、骨材中の水分の多寡による影響も受けることが想像される。

従前にしろ、コンクリートの乾燥収縮を論じる際には、供試体中の水分の挙動に着目すべきであるといふことは、異論がないと思われる。

本研究は、コンクリートに用いた粗骨材の吸水量、吸水状態、水セメント比および試験時の環境の湿度条件が、コンクリートの乾燥収縮にいかなる影響をおよぼすかを明らかにする目的としたものである。

表-1 試験条件

2. 実験概要

本実験に使用した骨材は、天然骨材（吸水量：粗骨材；1.21%，細骨材；1.23%），造粒型人工軽量骨材ライオナイト（吸水量：粗骨材；2.30%，細骨材；4.00%），および非造粒型人工軽量骨材宇部輕骨（吸水量：粗骨材；13.0%，細骨材；11.5%）の3種類である。セメントは、大阪社製普通ポルトランドセメントである。その他の試験条件は表-1に示す。

実験に用いたコンクリート、モルタルおよびセメントペーストの配合を、表-2に示す。配合を決定する際には、目標強度については、一切考慮しなかった。まず、コンクリートについては、単位セメント量をすべて350 kg/m³と一定にした。水セメント比を3段階とり、各水セメント比によって単位水量を決定した。さらにコンクリート中に占める粗骨材の体積を、水セメント比、骨材の種類にかかわらず一定とし、残った体積を細骨材で占めようとした。モルタルおよびセメントペーストの配合は、上記のコンクリート中のモルタルおよびセメン

表-2 配合表 ボリス No.8
C x 0.25%

供試体	正 方 配 合					
	C	W	S/A	S	G	
CN	40	350	140	46	860	1065
	50	"	175	43	771	"
	60	"	210	40	681	"
CLO	40	"	140	46	565	512
	50	"	175	43	525	"
	60	"	210	40	447	"
CLM	40	"	140	46	576	518
	50	"	175	43	516	"
	60	"	210	40	452	"
CLA	40	"	140	46	588	524
	50	"	175	43	529	"
	60	"	210	40	460	"
CUO	40	"	140	46	527	512
	50	"	175	43	473	"
	60	"	210	40	418	"
CUM	40	"	140	46	558	525
	50	"	175	43	500	"
	60	"	210	40	460	"
CUA	40	"	140	46	588	579
	50	"	175	43	527	"
	60	"	210	40	505	"
MN	40	576	231		1464	
	50	"	288		1270	
	60	"	346		1121	
MLO	40	"	231		929	
	50	"	288		833	
	60	"	346		756	
MLM	40	"	231		948	
	50	"	288		850	
	60	"	346		765	
MLA	40	"	231		966	
	50	"	288		866	
	60	"	346		788	
MUO	40	"	231		868	
	50	"	288		779	
	60	"	346		688	
MUM	40	"	231		918	
	50	"	288		824	
	60	"	346		725	
MUA	40	"	231		968	
	50	"	288		869	
	60	"	346		832	
P	30	1619	486			
	40	1367	566			
	50	1222	612			

トペーストと同じ配合にした。

乾燥収縮測定用の供試体は、 $10 \times 10 \times 40 \text{ cm}$ の角柱供試体で、打設後 24 時間実験室中（室温）に放置し、脱型後ただちにひずみ測定用のゲージアーティをはりつけた。その後供試体を二組に分け、高温恒温室（ $90 \pm 5\% \text{ R.H.}, 20^\circ\text{C}$ ）、低温恒温室（ $50 \pm 5\% \text{ R.H.}, 20^\circ\text{C}$ ）にそれぞれ搬入した。

供試体数は、高温、低温恒温室にそれぞれ 3 本ずつ作成した。乾燥収縮測定用の供試体とは別に、強度、弾性係数測定用のシリニダーモード供試体（ $10 \times 20 \text{ cm}$ ）も作成し、同様に保存した。

乾燥収縮ひずみの測定は、恒温室へ供試体を搬入した直後より開始した。なお、ひずみの測定にはフーゲンベルガーモードひずみ計（検長 10 インチ）を用いて行ない、最初の 1 週間は毎日、その後は徐々に測定間隔をひばし、残念 200 日位まで測定を継続した。なお、残念 28 日目にシリニダーモード供試体を用いて、圧縮強度および弾性係数を測定した。

表-3 乾燥収縮試験結果

3. 実験結果と考察

一般に、コンクリートの乾燥収縮～時間曲線は次式で近似できる。

$$S = \frac{t}{A + Bt} \quad \dots \dots (1)$$

A, B は実験定数で、(1) 式を適当に変形し、最小二乗法によつて求めることはできる。

また、 $t \rightarrow \infty$ とした時の S を S_∞ とすれば、 S_∞ は乾燥収縮の推定最終値になり、それは $1/B$ で表わされる。さらに、ひずみが $S_\infty/2$ に達するのに要する日数 n は、 A/B で表わされる。

本実験の結果より求めた A, B, S_∞ , n を、表-3 に示す。以下、諸要因の乾燥収縮におよぼす影響について簡単に考察する。

1) 環境の湿度の影響

表-3 を一看すればわかるように、骨材の種類、吸水状態、水セメント比にかかわらず、低温中に保存した供試体の乾燥収縮は、高温中に保存したもののが少よりも、すべて大きい。

高温中の供試体のひずみを 1 とすれば、低温中のものは、セメントペーストで、3.0 ~ 8.0、普通モルタルで、2.5 ~ 3.0、普通コンクリートで、約 2.0 であり、さらに、軽量コンクリート（ライオナイト）では、3.0 ~ 6.0、軽量コンクリート（宇宙軽骨）では、2.0 ~ 6.0 となり、

供試 体	L				H				
	%	A	B	$S_{\infty}(t \rightarrow \infty)$	n	%	A	B	$S_{\infty}(t \rightarrow \infty)$
CN	40	0.2796	0.01696	59.0	16.5	0.2043	0.03480	28.7	5.9
	50	0.2758	0.01516	66.0	18.2	0.2294	0.03109	32.2	7.4
	60	0.2927	0.01437	69.6	20.4	0.3599	0.02523	39.6	4.3
CLO	40								
	50	0.2141	0.02590	38.6	8.3	1.5565	0.08790	11.4	17.7
	60	0.3535	0.01300	97.2	29.2	1.0289	0.04057	24.7	25.4
CLM	40								
	50	0.2578	0.01379	72.5	18.7	1.0985	0.04461	22.4	24.6
	60	0.1594	0.02071	43.3	7.7	0.8267	0.05820	17.2	14.2
CLA	40								
	50	0.5472	0.01790	52.9	30.6	2.4594	0.10710	9.3	23.0
	60	0.3313	0.01750	57.1	18.9	0.5966	0.05748	17.0	10.1
CUO	40								
	50	0.3907	0.01620	64.4	24.0	0.7941	0.03333	30.0	23.8
	60	0.4933	0.00842	18.8	5.6	5.4494	0.04089	24.5	132.3
CUM	40								
	50	0.4254	0.00962	104.0	44.2	1.7415	0.04370	17.2	39.8
	60	0.3549	0.00817	122.4	43.4	1.3389	0.02860	27.2	46.8
CUA	40								
	50	0.7464	0.00984	101.6	7.9				
	60	0.4656	0.01310	94.3	35.5	1.5059	0.05431	18.4	28.7
MNO	40								
	50	0.6796	0.01063	94.1	63.9	2.4868	0.02500	40.0	99.5
	60	0.1259	0.00789	126.8	16.0	0.2668	0.02252	44.0	11.8
MLN	40								
	50	0.1490	0.00578	113.0	25.8	0.2962	0.01794	55.7	16.5
	60	0.1809	0.00445	227.7	40.7	0.4753	0.01137	28.0	41.8
MLO	40								
	50	0.1674	0.01067	93.7	15.7	0.1207	0.04141	24.2	2.9
	60	0.2200	0.00684	146.2	32.2	0.6822	0.02220	45.0	30.7
MLM	40								
	50	0.2737	0.00684	146.3	40.0	1.2921	0.01181	86.7	109.4
	60	0.2230	0.00884	113.1	25.2	3.2674	0.04080	85.5	80.0
MLA	40								
	50	0.3270	0.00543	184.2	60.2	1.3211	0.01118	89.5	118.2
	60	0.3390	0.00386	259.1	87.8	0.7029	0.00921	108.6	76.3
MUO	40								
	50	0.4717	0.00615	156.2	76.7	0.4468	0.03619	27.6	12.3
	60	0.2770	0.00581	172.1	47.7	0.5251	0.01893	52.8	27.7
MUM	40								
	50	0.2770	0.00581	172.1	47.7	0.5251	0.01893	52.8	27.7
	60	0.1895	0.01096	91.2	17.3	0.8143	0.04394	22.8	18.5
MUA	40								
	50	0.1993	0.00730	179.0	22.3	1.0132	0.02496	40.1	40.6
	60	0.1816	0.00493	203.1	36.8	1.4023	0.01091	91.7	128.5
P	40								
	50	0.3151	0.00640	185.1	49.2	2.0989	0.01775	56.3	118.2
	60	0.2710	0.00594	168.4	45.6	1.0521	0.01368	73.1	76.9
	30	0.2976	0.00380	263.4	47.8	1.0351	0.00905	110.6	114.4
	40	0.1067	0.00323	309.4	33.0	0.0789	0.02006	49.9	3.9
	50	0.1131	0.00223	449.0	50.7	0.1341	0.01843	54.3	7.3

普通コンクリートよりも軽量コンクリートの方が、より湿度の影響を受けるようと思われる。また、ライオナイトを用いたコンクリートよりも、吸水量の大きな宇部軽骨を用いたものの方が、その傾向が顕著である。モルタルについても同様の傾向がみられる。このことから、従来から指摘されていふように、乾燥収縮は供試体と環境との間の湿度勾配による、シーページ効果によるものであるといふことが明らかである。

2) 水セメント比の影響

図-1は水セメント比が最小のものを基準とした時の、他の水セメント比の供試体のひずみの割合を示すもので、表乾状態の骨材を用いたものについての計示した。

図-1によれば、一般に水セメント比が大になれば、その乾燥収縮は大きくなる。そして、このような傾向は、コンクリート、モルタル、セメントペーストと供試体中に占めるセメントペーストの割合が多くなるほど顕著である。

このことからも、乾燥収縮がセメントペースト中の水の逸散によるものであることが推察される。気乾状態、絶乾状態の骨材を用いた供試体においても同様の挙動がみられる。

3) 骨材の種類、吸水量の影響

軽量コンクリートの乾燥収縮は、普通コンクリートのそれよりも大きいと言われてゐるが、本実験の結果によれば、どちらが大きいかは一概には言えない。

図-2は、軽量骨材を用いたコンクリートおよびモルタルの乾燥収縮ひずみを、普通骨材を用いたコンクリートおよびモルタルのそれを除した値を示したものである。図-2によれば、高温中に保存したものではどちらとも決定し難いが、低温中に保存したものでは、ライオナイトを用いた供試体の乾燥収縮は、普通骨材を用いた供試体のそれと大きく差なく、宇部軽骨を用いた供試体のそれは、両者よりも若干大きくなるようである。また、ひずみ～時間曲線をみると、普通コンクリート、モルタルでは、その立ち上がりが大きく比較的早く一定値に収斂するが、軽量コンクリート、モルタル、どちらに吸水量の大きい宇部軽骨を用いたものでは立ち上がりが小さく、収縮の増加が徐々に進行し、長期間継続することがわかる。このような傾向は、表-3のAおよびBの値を比較することによっても明らかである。これは、骨材の吸水量の大きい供試体における、セメントペーストの乾燥収縮

図-1 水セメント比の影響

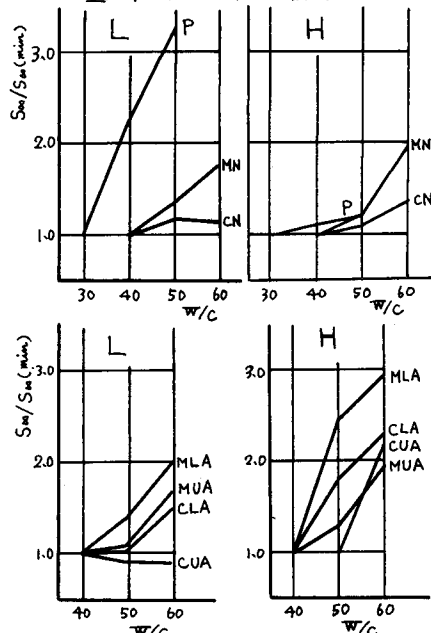
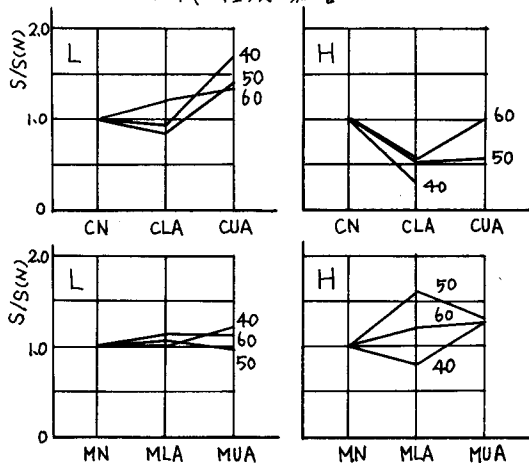


図-2 骨材の種類の影響



にともなって、骨材中の水分がペーストへ移動することに起因するものであると思われる。このような傾向は、水分の逸散の多い低温中では顕著であるが、高温中ならばに乾燥状態、絶乾状態の骨材を用いたものでは明確でない。

%	CN	MN	P
40	0.169	0.220	0.226
50	0.189	0.300	0.307
60	0.199	0.394	

表-4
単位セメント(ペースト)
当りの乾燥収縮

表-4は、各供試体の乾燥収縮ひずみの推定最終値 S_{∞} を、表-2の配合表の単位セメント量で除した値を示したものである。セメントが完全水和するのに必要な水の量が一定であるとすれば、これは供試体中の単位セメントペースト当りの乾燥収縮ひずみを表すものと考えることができる。表-4から明らかなように、コンクリート、モルタル、セメントペーストの順に徐々に値が大きくなっている。乾燥収縮がセメントペーストにおいておこり、骨材の影響が全くなないとすると、この値はすべて等しくなるはずであるが、実際は骨材量が少なくなるほど収縮量が大きい。これは、たとえ乾燥収縮現象がセメントペースト中にあってのけども骨材があるものであるとしても、そこに骨材が存在すれば、骨材からの水の補給や、骨材によって収縮が妨げられることがある。セメントペースト単独で試験を行なった場合の乾燥収縮よりも、コンクリートやモルタルの乾燥収縮は、小さなものとなることを示すものである。

%	CLA	MLA	CLM	MLM	CLO	MLO
40	0.160	0.223			0.196	
50	0.163	0.320	0.207	0.192	0.110	0.254
60	0.243	0.450	0.138	0.203	0.221	0.254

%	CUA	MUA	CUM	MUM	CUO	MUO
40	0.290	0.269			0.158	
50	0.267	0.292	0.297	0.238	0.175	0.300
60	0.269	0.457	0.350	0.353	0.339	0.421

4) 骨材の吸水状態の影響

コンクリートやモルタルの乾燥収縮が、以上述べたような挙動を示すものであるならば、供試体中に水分の多い表乾燥状態の供試体の乾燥収縮が、他のものよりも大きくなることなどが予想されるが、表-2や表-4から明らかなように、そのような傾向はあまり明確でない。骨材の吸水状態をうまく管理するのが難かしく、誤差が入り易いため、表に示した値は最終の推定値であるため、実際とは多少異なる値を推定しておいたために、その差が不明瞭になってしまったものと思われる。こまでも実際のひずみへ時間曲線によつて比較すると、多少表乾燥状態のものが他よりも大きくなるようであるが、やはり顕著なものではない。この点に関しては今後の研究に待ちたいと思う。

＜参考文献＞

- 岡田、小柳、阪田、「クリークの環境温度依存性について」コンクリートライダリ-24号 工木学会、昭和44年。